

建設省土木研究所 ○正員 田村正秀 正員 川口信幸

主旨

重力ダムにおける減勢工としては、垂直なエンドシルを用いた跳水式減勢工が多く採用されている。エンドシル高について従来より多くの人によって研究され、算定式が提案されていて、それらの式の構成および仮定が様々で逐一的に評価することは困難である。本文は、それらの式の特質を明らかにし、当所で実施したダムの水理模型実験結果とを比較検証したものである。

1. エンドシル高の算定式

エンドシル高の算定には、大別して2つの考え方があるとなわれてきた。I. 減勢池の長さを跳水長($l_j = 5\lambda_2$ とする)より相当短くして、エンドシルに作用する動水圧を考え、解析は運動量によっておこなわれる。II. 減勢池の長さを跳水長の約10%程度以上にとって、エンドシルは跳水下流水深を確保する考え方で、エンドシルの越流水深を問題としたもので、解析はエネルギーによっておこなわれる。

エンドシル高の代表的な算定式を挙げると、つぎのとおりである。

(1). Doeringsfeld & Barker の式¹⁾

$$\frac{(\sqrt{1+\delta F^2} - 1 - \frac{d}{\lambda_1})^3}{(\sqrt{1+\delta F^2} - 1 + \frac{d}{\lambda_1})} = \frac{\delta F^2}{(\sqrt{1+\delta F^2} - 1)} \quad \dots(1)$$

i). 断面I, IIおよびIIIについて運動量が連続している。

ii). Doeringsfeld が実験から求めた数、 d および λ_1 の関係は、 $\lambda_2 - d = 2\lambda_1$ である。

iii). エンドシルが広頂セミエジット、 λ_2 に対応する水圧を受け持つときは適用可能である。

(2). Forster & Skrinde の式²⁾

$$\frac{d}{\lambda_1} = \frac{\sqrt{1+\delta F^2} - 1}{\lambda_1} - \sqrt{\delta F^2 - \frac{1}{\lambda_1} (\sqrt{1+\delta F^2} + 1)} \quad \dots(2)$$

i). 断面I, IIおよびIIIについて運動量が連続している。

ii). 断面IIIにおける水深 d は、限界水深となる。

(3). 土研式(I)(村)³⁾

$$\frac{d}{\lambda_1} = \frac{\left(\frac{\lambda_2}{\lambda_1}\right)\left(\frac{C_0 F^2}{K^2} + 2K\right) + \sqrt{\left(\frac{\lambda_2}{\lambda_1}\right)^2 \left(\frac{C_0 F^2}{K^2} + 2K\right)^2 + 4\left(\frac{\lambda_2}{\lambda_1}\right) \left\{ \left(\frac{\lambda_2}{\lambda_1}\right)^2 - (2F^2 + 1) \right\} \left(\frac{\lambda_2}{\lambda_1}\right) + 2F^2}}{2\left(\frac{\lambda_2}{\lambda_1}\right)} \quad \dots(3)$$

i). 断面I, IIおよびIIIについて運動量が連続している。

ii). 抗力係数 C_0 を導入し、また、シル付近の流速 v_i を $v_i = v_i / K$ (K は定数)とした。

以上のべた(i), (2)および(3)式は、さきにのべた分類の I に属するものである。

(4). 岩崎の式⁴⁾

$$\frac{d}{h_1} = \frac{(1+2F^2) \sqrt{1+8F^2} - 5F^2 - 1}{1+4F^2 - \sqrt{1+8F^2}} - \frac{3}{2} F^{\frac{3}{2}} \quad \dots \dots \dots \quad (4)$$

i). 断面 I - II について運動量が連続している。

ii). 断面 II - III において、エネルギーは連続している。(断面 III は刃形セミの上流端)

iii). 断面 III において、限界水深となる。

(5) 土研式(II) (1)村、藤本他⁶⁾

$$\frac{d}{h_1} = \frac{(1+2F^2) \sqrt{1+8F^2} - 5F^2 - 1}{1+4F^2 - \sqrt{1+8F^2}} - \left(\frac{F^2}{2K^2}\right)^{\frac{1}{2}} \quad \dots \dots \dots \quad (5)$$

i). 断面 I - II について運動量が連続している。

ii). 底頂セミの流量公式^{4), 5)} $f = K \sqrt{2g} H_0^{1/2}$ に、 $H_0 = V_2^2 / 2g + h_2 - d$ とした。

iii). 本間⁷⁾ やおよび鍋岡⁸⁾ の底頂セミの越差係数 K に関する研究によつてえられた K を用いた。

ここにのべた(4)および(5)式は、エミの分類の II に属するものである。

以上の式の記号は、図-1 に示す位置の方
水深 (h_1)、フルード数 (F) およびエン
ドシル高 (d) である。

従来は(4)式が広く用いられていた。

2. 水理模型実験による検証

一般に、ダム減勢工の減勢池の長さおよび
エンドシルの形状については、水理模型実験を
多く用いることが多い。これまでに当所で実
験したダムは多くのダム程度である。これらのダムの実験資料から、我々は跳水式減勢工の状態を A,
B, C, D (非常に良い、良い、やや悪い、悪い) に順位評価した。それらは、減勢池の水深の縦断
形状、シル前面に作用する水圧および流れの3つの要素からなり立っており、その状態を概略示すと
図-2のとおりである。

そこで、実験資料から
 F と $\frac{d}{h_1}$ との関係を調べ

評価をあてなうと図-
1 のようになつた。

ここに印した評価は、
3つの要素を統合したもの

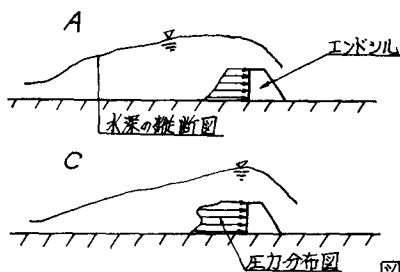


図-1

I-----II-----III---(1), (2)式
I-----II-----III---(3)式
I-----II-----III---(4), (5)式

図-1

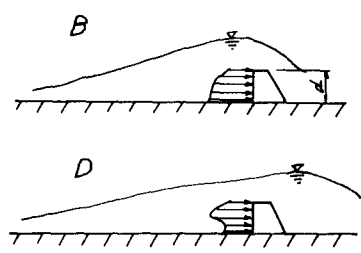


図-2

のである。また、同図に前項1の算定式(4), (4), (4)および(5)式の関係を示す。

この結果、順位AまたはBを得るためにには、土研式(1)式で大体 $K = 0.4$ くらいになった。

つまに、この具体的な例として、四国、大渡ダムの水理模型実験について考察を進める。

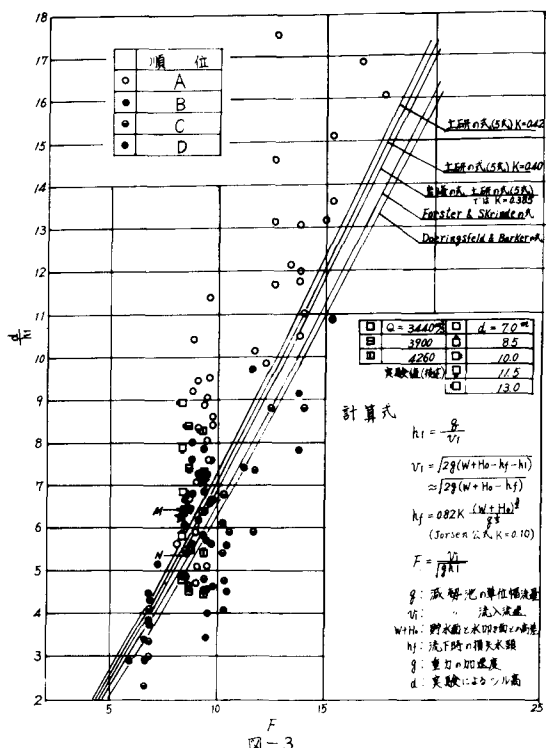
① 実験方法

実験は図-4に見られる、大渡ダムの縮尺1:50の水理模型によつておこなつた。減勢池の長さとしては、そのIIに属するエンドシルを考えることとした。実験の手順としては、1. 3種の流量

条件についてエンドシルを設けないで、下流水位を調節して正常跳水が生じるようとした。そのときの跳水下流水深を測定した。又、跳水長を、バケット終端よりターピー下流の位置にエンドシル高 8.0 ～ 10.0 m (1.8 m 間隔) の上流面が垂直な台形エンドシルを設け、各流量における減勢池の水面形、エンドシル前面の圧力および流況写真撮影を行なった。

(2) 実験結果

シルなしの各流量条件における正常跳水の跳水下流水深の測定結果を用いて運動量の保存則によつて跳水始端の水深を算出し、この値より流入射流のフルード数 F を求めた。また、高さの異なるエンドシルを設けたときの各の実験値から h_f を求め、 F との関係を示すと図-1 のようになつた。図-1 にちけた実線は、共役下流水深を示している。図から共役下流水深を得るために必要なエンドシル高を内挿す



ことは、他の流量ヒル高についても同様である。

以上のような考察から、適切なエンドシル高は、土所の式では $K = 0.4$ 程度のヒラと考えられる。

また、分類 I に属するものは、この場合若干低いエンドシル高が算定されることがわれる。

結論

以上、エンドシル高の算定式と水理模型実験との比較検証から、比較的均等な流れで、かつ減勢池成直線である場合、適正なエンドシル高を求める（順位 B を三つの要素すべて満足する）ためには、土所式(II) (6)式で $K = 0.4$ 程度のヒラと考えられる。

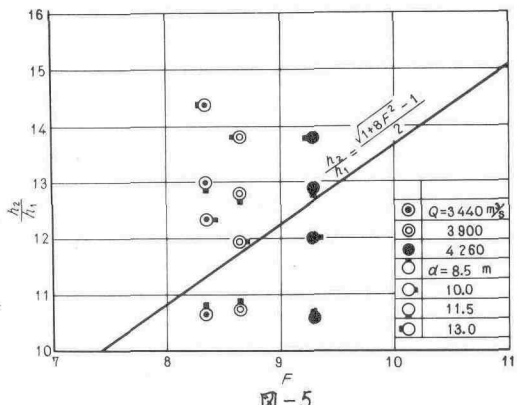


図-5

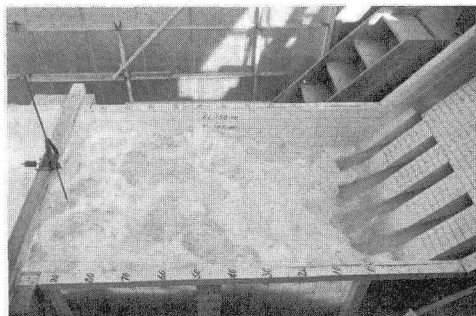


写真-1

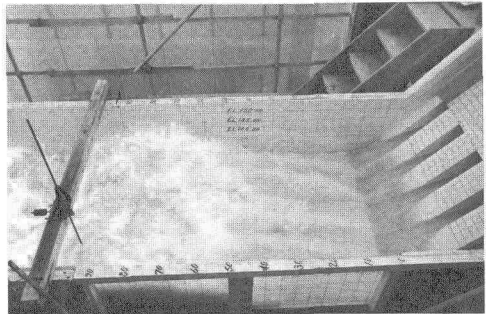


写真-2

参考文献

- 1) H. A. Doeringsfeld, C. L. Barker; Pressuremomentum theory applied to the broad crested weir: Trans. ASCE vol. 106, 1941
- 2) J. W. Forster, R. A. Skrinde; Control of the hydraulic jump by sills: Trans. ASCE, 1949
- 3) 村幸雄; 洪水調節用ダム放水設備の設計合理化に関する研究: 建設省土木研究所, 1953. 3
- 4) 后崎敏夫; 余水吐き減勢装置について: 技術者のための最近の水工学, 土木学会東北支部, 1961
- 5) 川村幸司, 藤本成, 山本邦一, 名津井榮一; 早明浦ダム水理模型実験報告: 土木研究所資料, 第261号, 建設省土木研究所, 1967. 3
- 6) 本間仁; 低溢流堰堤の流量係数: 土木学会誌, 26巻6号乃至7号, 1940
- 7) 鍋岡昭三; 低いダムの越流係数に関する研究: 電研月報, 第4巻2号, 1954